

12th International Conference on
Intelligent Data Processing:
Theory and Applications

СРАВНЕНИЕ ИНФОРМАТИВНЫХ ПРИЗНАКОВ РАДУЖКИ МЕТОДОМ ОПТИМАЛЬНОГО ПУТИ



Иван Матвеев

ФИЦ ИУ РАН

 Iritech, Inc.
Technology with the Iris

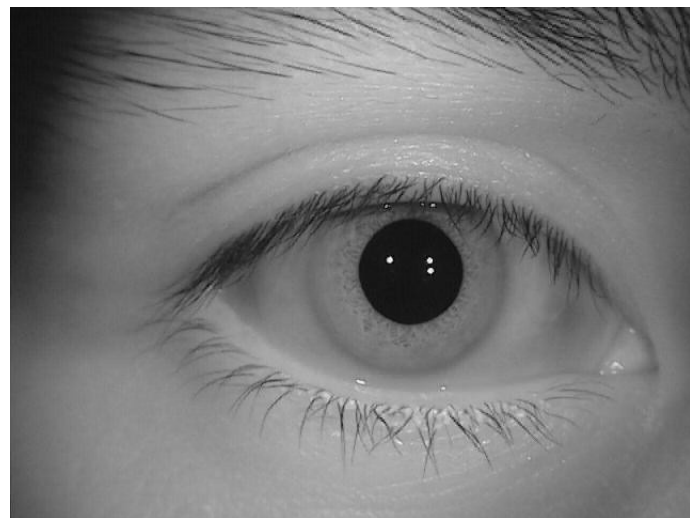
Владимир Новик

Iritech Inc., Московское представительство

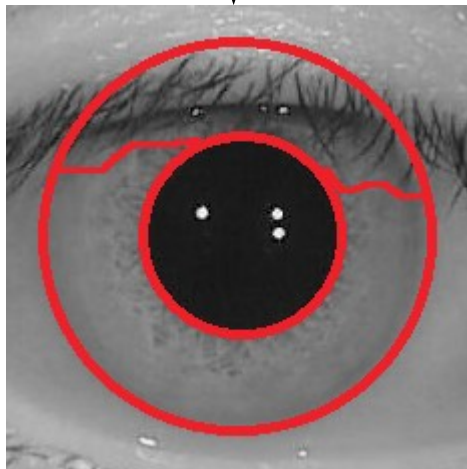
Распознавание радужки в целом

Аутентификация по радужной оболочке глаза — хорошо развитая технология

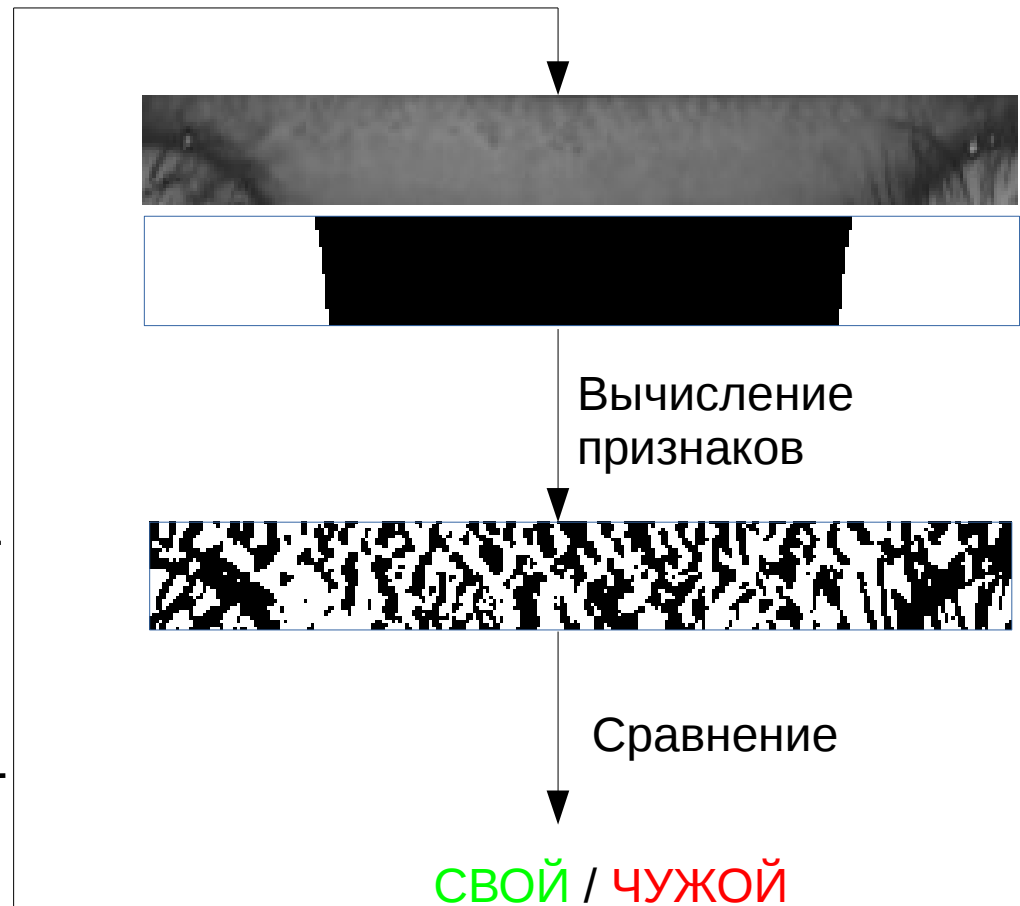
Все известные приложения построены по одной схеме



Образмеривание

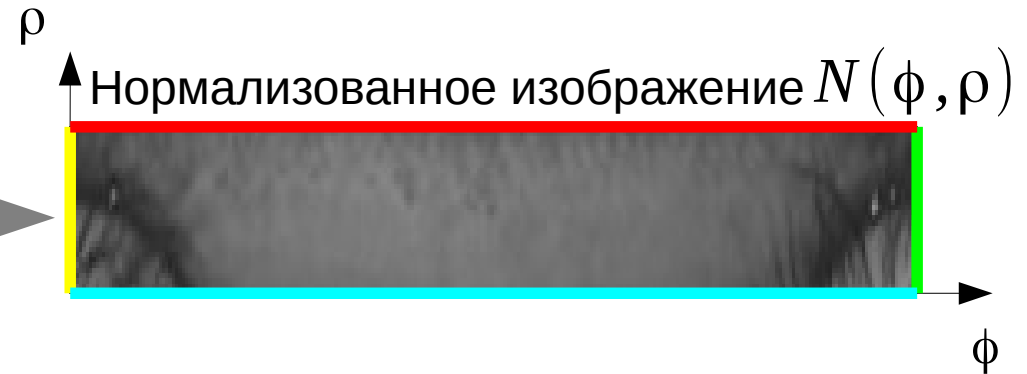
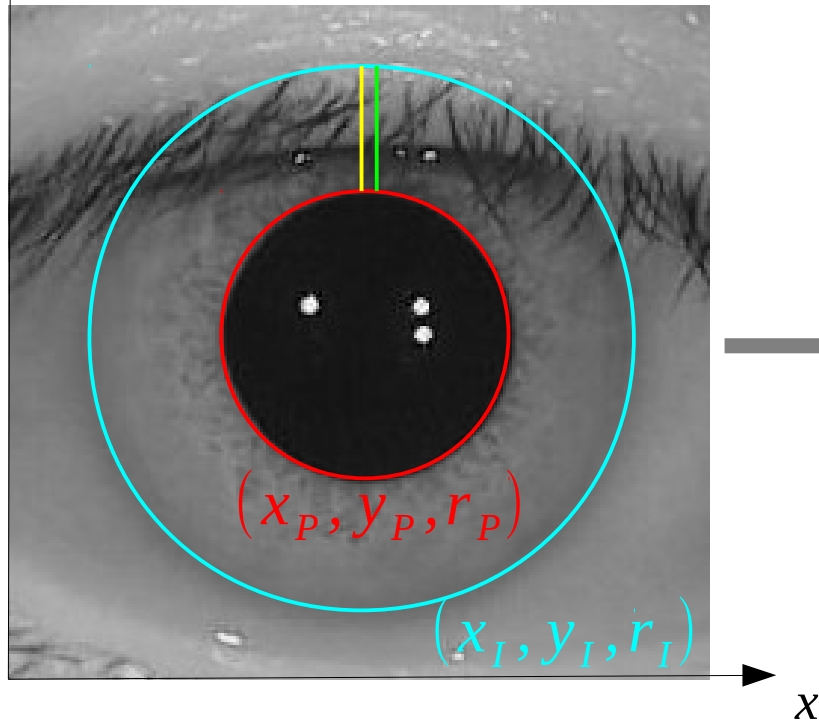


Нормализация



Нормализация

y ↑ Исходное изображение $S(x, y)$



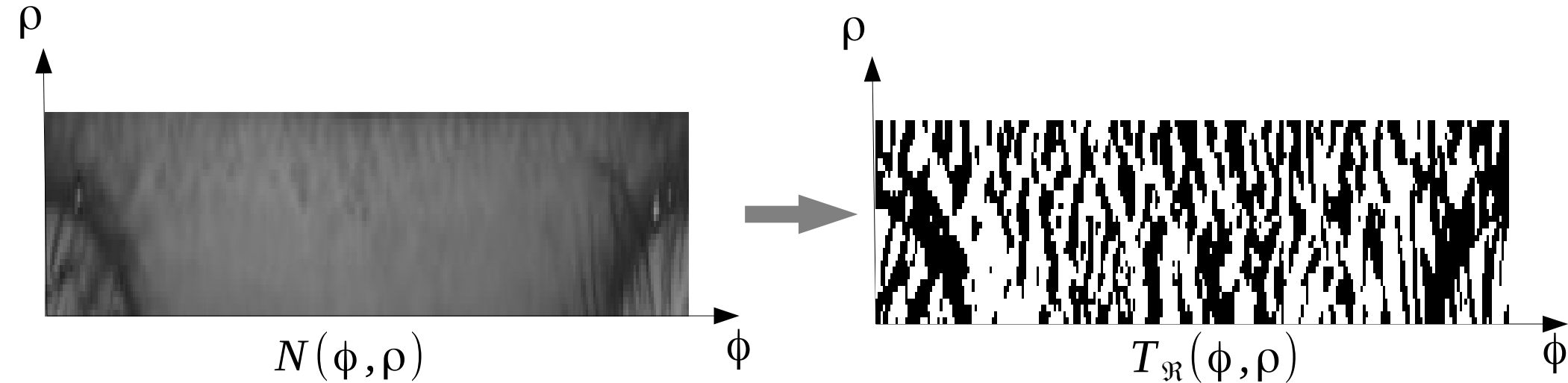
Яркость нормализованного изображения:

$$N(\phi, r) = \begin{matrix} (1 - \{x\})(1 - \{y\}) & S([x], [y]) + \\ \{x\}(1 - \{y\}) & S([x+1], [y]) + \\ (1 - \{x\})\{y\} & S([x], [y+1]) + \\ \{x\}\{y\} & S([x+1], [y+1]) \end{matrix}$$

где

$$\begin{aligned} x(\phi, \rho) &= (1 - \rho)(x_P + r_P \cos \phi) + \rho(x_I + r_I \cos \phi) \\ y(\phi, \rho) &= (1 - \rho)(y_P + r_P \sin \phi) + \rho(y_I + r_I \sin \phi) \end{aligned}$$

Вычисление признаков и сравнение



Вычисление признаков

$$V(\phi, \rho) = N(\phi, \rho) * g(\phi, \rho)$$

$$g(\phi, \rho) = g(\phi)g(\rho)$$

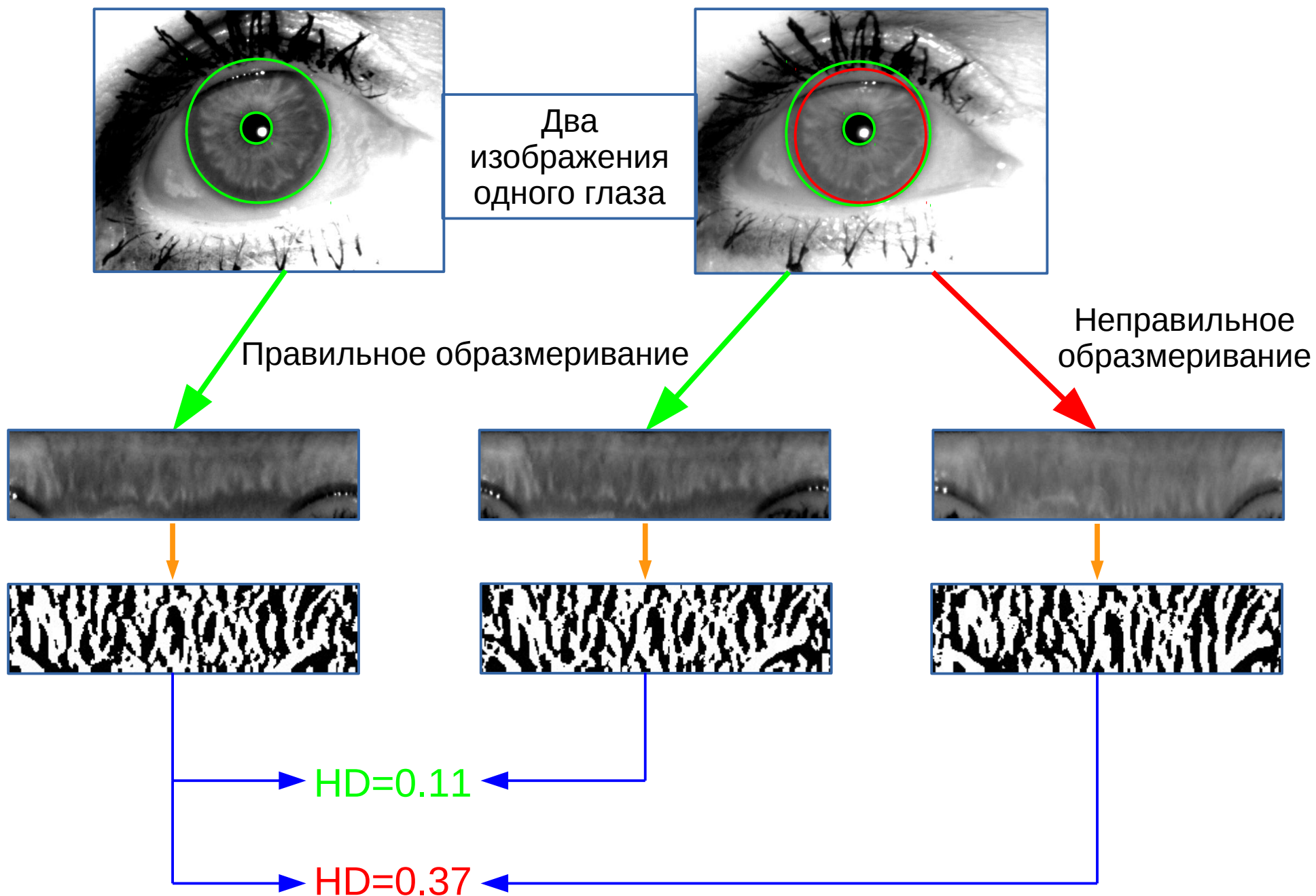
$$g(\phi) = \exp\left(\frac{-\phi^2}{2\sigma^2}\right) \exp\left(-i\frac{\phi}{\lambda}\right)$$

$$T_{\Re}(\phi, \rho) = \begin{cases} 1, & \text{if } \Re(V(\phi, \rho)) \geq 0, \\ 0, & \text{if } \Re(V(\phi, \rho)) < 0 \end{cases}$$

Сравнение признаков:
расстояние Хэмминга

$$d(T_1, T_2) = \frac{1}{|\Omega|} \sum_{(\phi, \rho) \in \Omega} T_1(\phi, \rho) \oplus T_2(\phi, \rho)$$

Задача пространственного совмещения



Решения задачи совмещения

Глобальные признаки: совмещение не требуется

PCA, ICA: Vivekanand Dorairaj, Natalia Schmid (2005)

PCA/LDA: Meryem Erbilek and Onsen Toygar (2009)

Гистограммы: R.W. Ives, A.J. Guidry, D.M. Etter (2004)

пр. Фурье: K. Miyazawa, K. Ito, T. Aoki, K. Kobayashi, H. Nakajima (2005)

Недостаток: EER > 1%

Локальные признаки

Активные контуры: John Daugman (2007)

Недостаток: неустойчивость

Корреляторы: Man Zhang, Zhenan Sun, Tieniu Tan (2011)

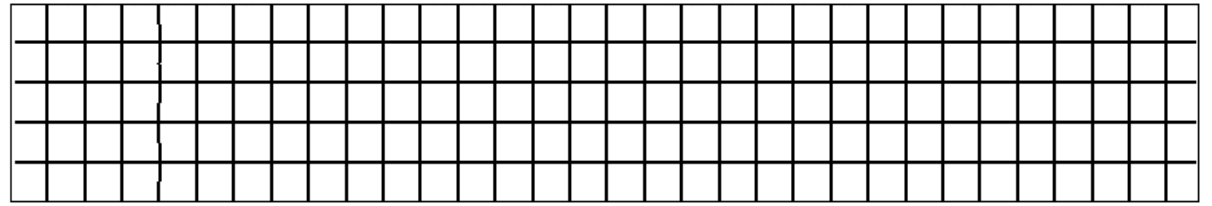
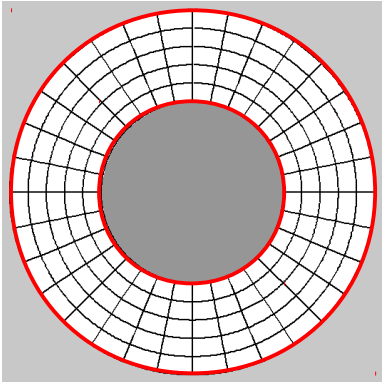
НММ: Ryan Kerekes, Narayanaswamy Balakrishnan et al. (2007)

Эластичные графы: Sammy Phang, Wageeh Boles, Michael Collins (2006)

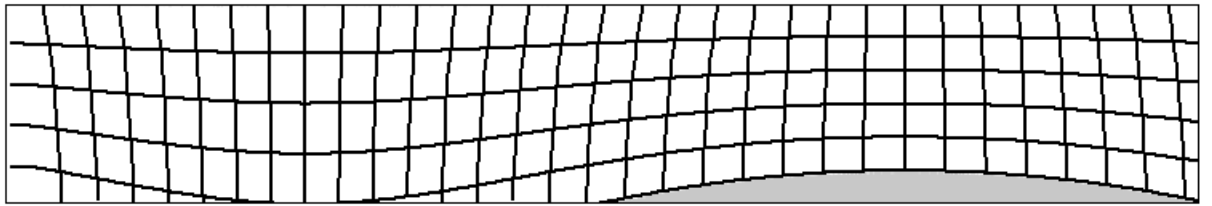
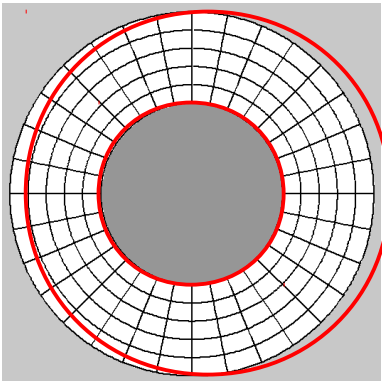
Somying Thainimit, Luis Alexandre, Vasco Almeida (2015)

Недостатки: вычислительная сложность,
сходимость к локальному экстремуму

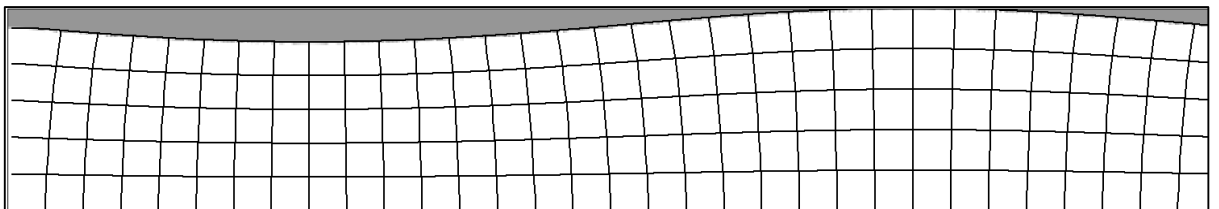
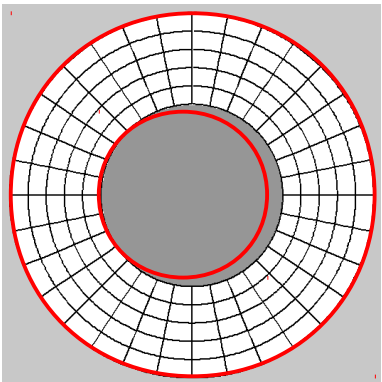
Примеры деформаций



Качественное образмеривание



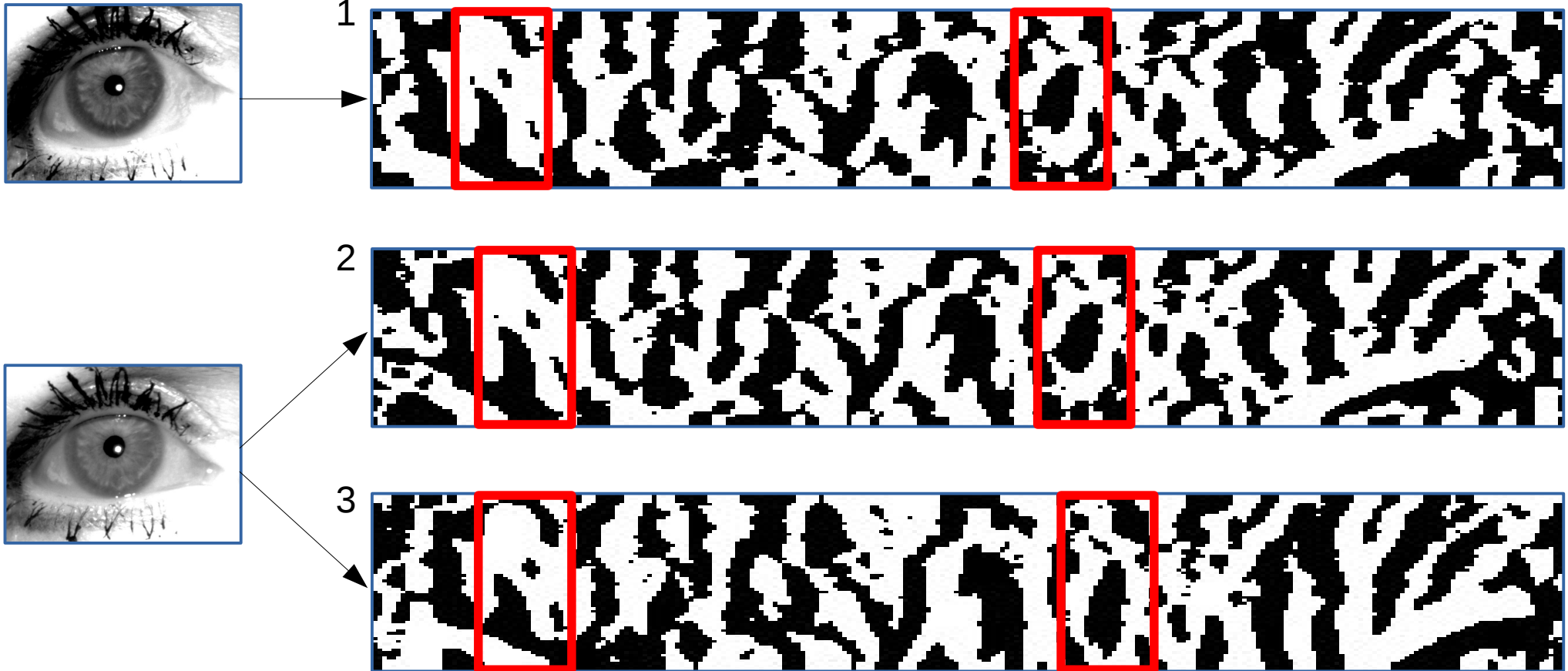
Сдвиг центра радужки



Сдвиг центра и величины радиуса зрачка

1. Ошибка в одном параметре влияет на всё изображение
2. Деформации гладкие

Локальные (кусочные) операции



Template-1 vs Template-2: одинаковый сдвиг из-за взаимного вращения

Template-1 vs Template-3: различные сдвиги из-за деформации

Всегда есть возможность неточного образмеривания
Эталоны не могут сравниваться как «твёрдые тела»



Разбиение на
сектора

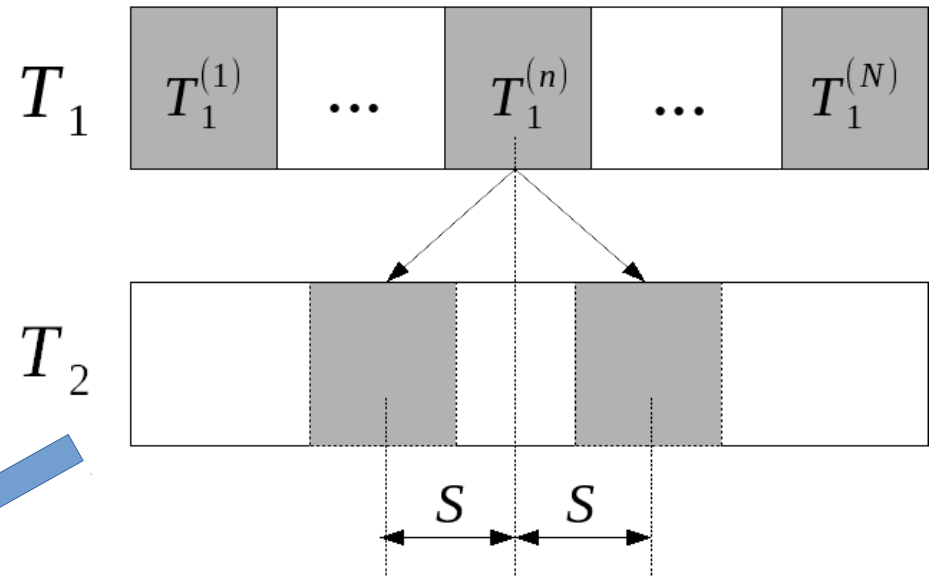
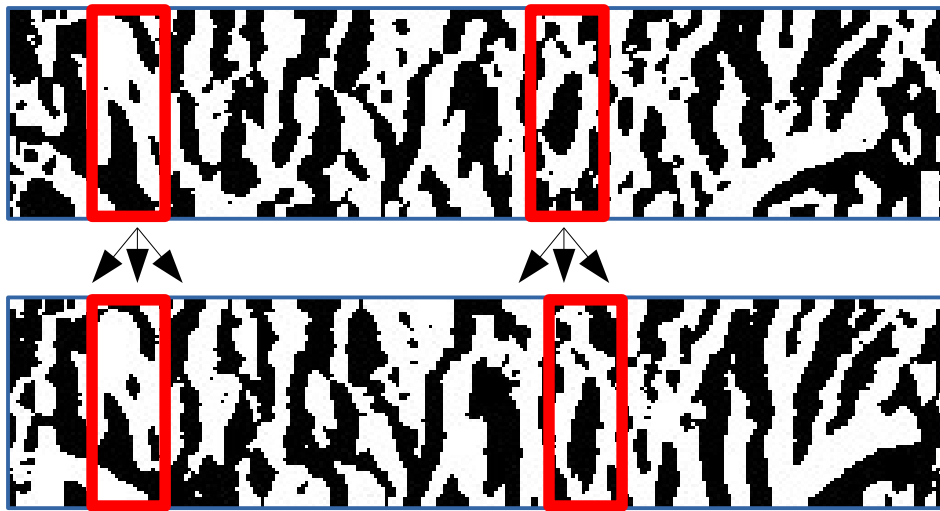
Сравнение секторов с угловым сдвигом

Эталон T_1 разбивается на N секторов:

одинаковых, непересекающихся, расположенных вдоль угловой оси

Каждый сектор может смещаться на угол $\psi \in [-S; S]$

и сравниваться с соответствующей частью эталона T_2



$d_{S,n}$
...
$d_{0,n}$
...
$d_{-S,n}$



$d_{S,1}$...	$d_{S,N}$
...
$d_{0,1}$...	$d_{0,N}$
...
$d_{-S,1}$...	$d_{-S,N}$

Способы кусочного сравнения

Вычисляется матрица $d_{\psi,n}$ расстояний между секторами.

В терминах этой матрицы можно построить различные модели сравнения.

Модель «твёрдого тела» $d(T_1, T_2) = \min_{\psi} \sum_n d_{\psi,n}$

Все смещения равны

Модель «жидкости» $d(T_1, T_2) = \sum_n \min_{\psi} d_{\psi,n}$

Смещения независимы

$d_{S,1}$...	$d_{S,N}$
...
$d_{0,1}$...	$d_{0,N}$
...
$d_{-S,1}$...	$d_{-S,N}$

Это два «полюса» множества возможных моделей.

Как наложить взаимные ограничения на смещения секторов?

Метод оптимального кругового пути

Также используется в уточнении границы зрачка



Пиксели границ, исходное изображение,
Приблизительное положение центра глаза,
Приблизительный радиус радужки

- Определить кратчайший непрерывный путь от левой до правой границы,
- При условии равенства начальной и конечной ординаты: $\rho(0) = \rho(2\pi)$

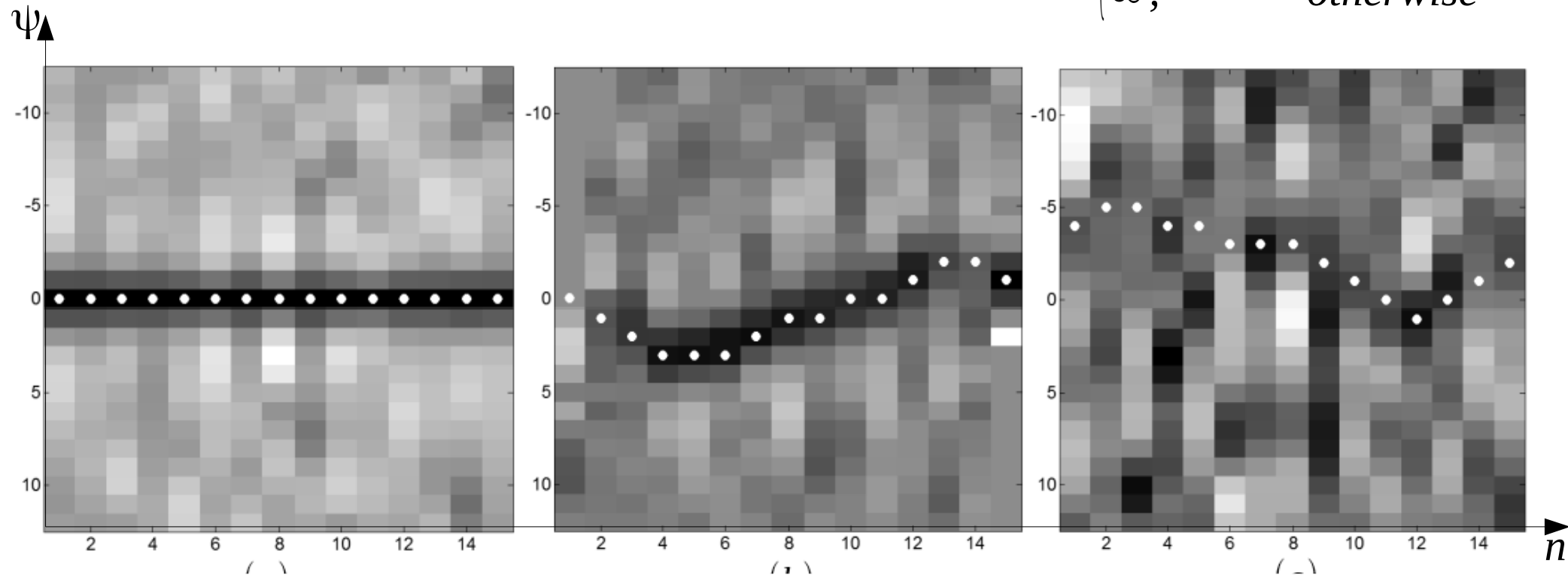
Путь $S = \{\rho(\phi)\}_{\phi=0}^{2\pi} \approx \{\rho_n\}_{n=1}^W$

Стоимость пути C зависит от его формы и содержания изображения

Оптимальный путь $S^* = \arg \min_S C(S),$

Сравнение методом оптимального пути

$$d(T_1, T_2) = \min_{(\psi_1, \dots, \psi_N)} \sum_{n=1}^N [d_{\psi, n} + C(\psi_n, \psi_{n+1})] \quad , \quad C(\psi_n, \psi_{n+1}) = \begin{cases} 0, & \text{if } |\psi_n - \psi_{n+1}| \leq 1, n \neq N \\ 0, & \text{if } |\psi_n - \psi_1| \leq 1, n = N \\ \infty, & \text{otherwise} \end{cases}$$

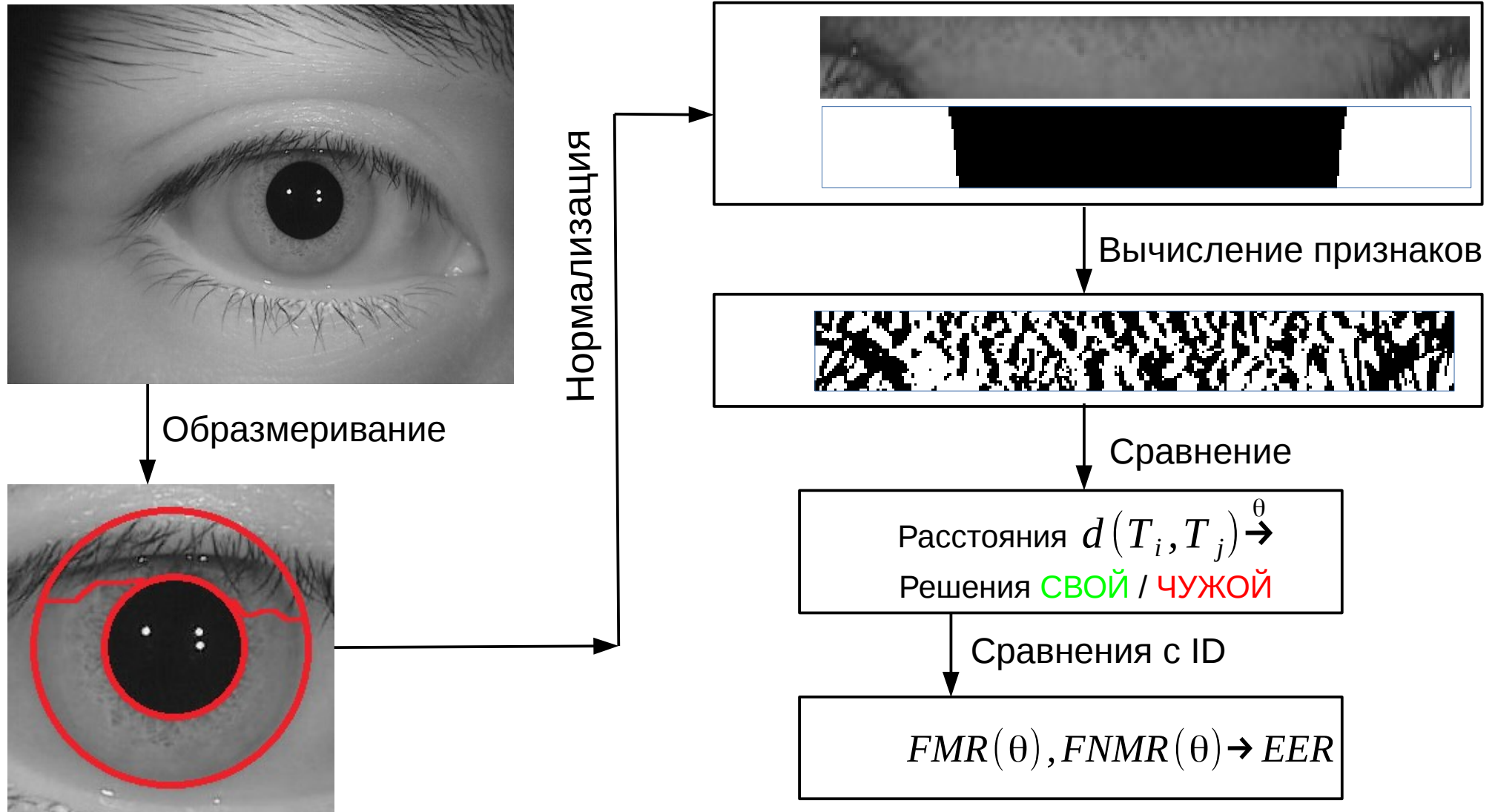


«Свой»,
верное образмеривание.
Нет необходимости в
кусочном сравнении,
оптимальный путь - прямая.
Модель «твёрдого тела» была
бы достаточна.

«Свой», ошибки в
образмеривании.
Минимумы в столбцах
формируют «долину», по
которой пролегает
оптимальный путь с низкой
стоимостью.

«Чужой».
Независимо от правильности
образмеривания
расположение минимумов
хаотическое, оптимальный
путь — также случайная
кривая с высокой
стоимостью.

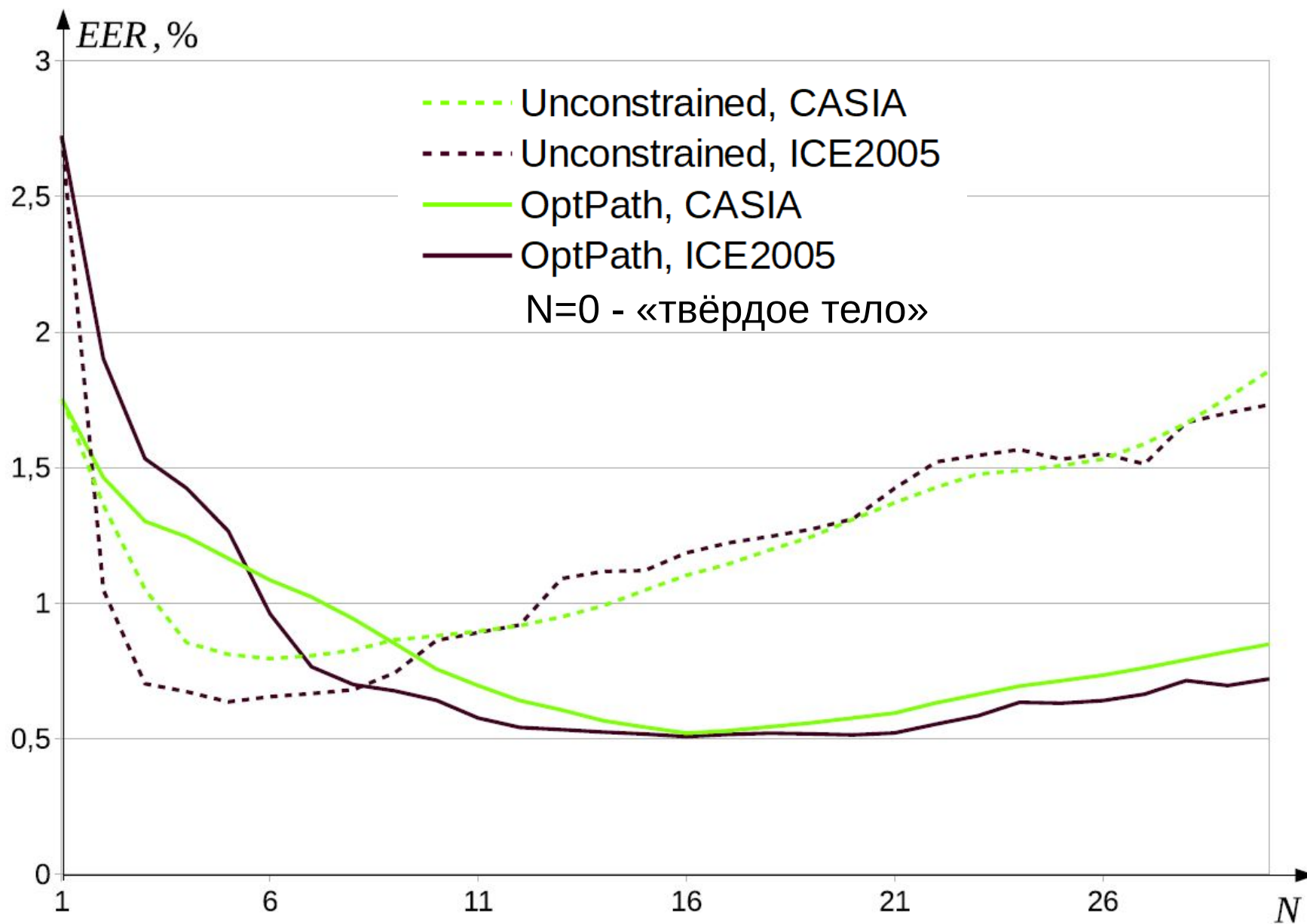
Постановка вычислительного эксперимента



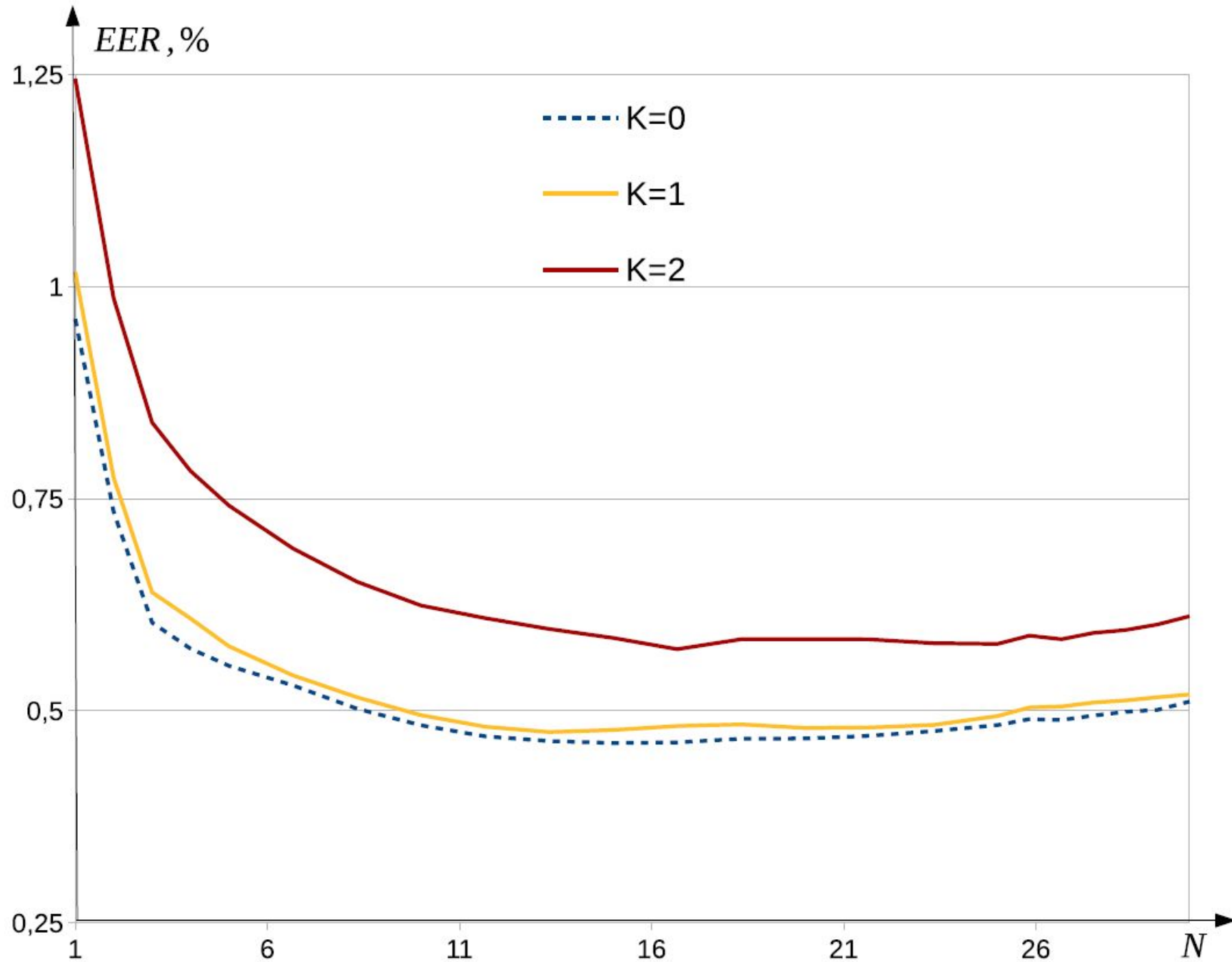
CASIA4-Lamp содержит изображения >800 глаз, каждый глаз представлен более 20 изображениями. Всего БД содержит 16312 изображений. Около 160 000 «своих», 13 млн. «чужих» сравнений.

ICE2005 подмножество ND-Iris-0405 содержит 2593 изображений 132 глаз. Около 30 «своих», 6 млн. «чужих» сравнений.

Кривые равновероятной ошибки



Симуляция ошибок образмеривания



Сравнение с аналогами

Method	ICE2005	CASIA
Zhang et al.	-	0.59
Liu et al.	0.63	-
He et al.	0.53	-
Rigid body, $N = 1$	2.72	1.76
Nolink, optimal $N = 5$	0.64	0.79
Optimal path, optimal $N = 16$	0.52	0.54

Заключение

Изучено влияние разбиения радужки на смещающиеся сектора на ошибку распознавания.

Исследованы различные модели смещений: “твёрдого тела”, несвязанных секторов (“жидкость”) и взаимосвязи, наложенной методом оптимального пути.

Вычислительные эксперименты показывают существенный рост точности распознавания при использовании метода оптимального пути. Точность сравнима и выше таковой для известных сложных методов.

Оптимум достигается при 5 секторах в модели несвязанных смещений и 16 в модели оптимального пути.